

Buts de ce cours :

Passer en revue et décrire de manière succincte les premières mises en évidence expérimentales de la condensation de Bose-Einstein sur des milieux dilués (gaz d'atomes alcalins ultrafroids et piégés)

La plupart des effets observés peuvent être interprétés, au moins de manière qualitative, au moyen de la théorie de la condensation de Bose-Einstein d'un gaz de bosons sans interactions décrite précédemment. D'autres expériences ont été réalisées depuis, mettant en évidence des effets liés aux interactions entre bosons. Elles seront décrites et analysées dans des cours ultérieurs.

Plan

- 1 - Généralités : Transparents T1 à T4
Sequence expérimentale - Evaporation RF
- 2 - Expériences sur le rubidium (Boulder) : Transparents T5 à T.13
- 3 - Expériences sur le sodium (MIT) : Transparents T14 à T.22
- 4 - Expériences sur le lithium (Texas) : Transparent T.23

Références (suite des pages I-11, II-10, V-8)

- 18 - D. Pritchard, K. Helmerson, A. Martin, in *Atomic Physics 11*, ed. by S. Haroche, J.C. Gay, G. Grangier, (World Scientific, 1989), p. 179
- 19 - M. Anderson, J. Ensher, M. Matthews, C. Wieman, E. Cornell, *Science*, 269, 198 (1995)
- 20 - C. Wieman, E. Cornell, D. Jin, J. Ensher, M. Matthews, C. Myatt, E. Burst, R. Ghrist, in *Atomic Physics*⁽¹⁵⁾, ed. by H. van Linden van den Heuvell, J. Walraven, M. Reynolds (World Scientific, 1997), p. 132
- 21 - J. Ensher, D. Jin, M. Matthews, C. Wieman, E. Cornell, *Phys. Rev. Lett.* 77, 4984 (1996)
- 22 - K. Davis, M.O. Mewes, M. Andrews, N.J. van Druten, D. Durfee, D. Kurn, W. Ketterle, *Phys. Rev. Lett.* 75, 3969 (1995)
- 23 - C. Townsend, N.J. van Druten, M. Andrews, D. Durfee, D. Kurn, M.O. Mewes, W. Ketterle, in *Atomic Physics 15* (même référence qu'en 20), p. 192
- 24 - M.O. Mewes, M. Andrews, N.J. van Druten, D. Kurn, D. Durfee, W. Ketterle, *Phys. Rev. Lett.* 77, 416 (1997)
- 25 - C. Bradley, C. Sackett, J. Tollett, R. Hulet, *Phys. Rev. Lett.* 75, 1687 (1995)
- 26 - C. Bradley, C. Sackett, P. Hulet, *Phys. Rev. Lett.* 78, 985 (1997)

VI-2

T1

Séquence temporelle d'une expérience

1 - Refroidissement et piégeage laser d'atomes dans une mélasse ou un piège magneto-optique (à partir d'un jet ralenti ou d'une vapeur)

$T \sim$ quelques μK , $N \sim 10^7 \text{ à } 10^8$ atomes

2 - Coupure des faisceaux laser et branchement d'un piège magnétique
Adaptation des volumes de piégeage
Compression du piège magnétique

3 - Evaporation radiofréquence :

On diminue lentement ω_{rf} pour rester à la valeur optimale de $\eta = E_t/kT$

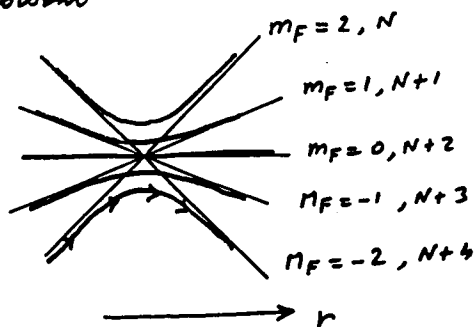
4 - Détection optique de la distribution de position et de vitesse, après une phase d'expansion ballistique pour augmenter la taille du nuage atomique

Absorption ou dispersion

^{T3} Niveaux "habillés" et surfaces de potentiel adiabatiques

- Au voisinage du point r où le champ RF est résonnant, les énergies des sous-niveaux $|M_F=2, N\rangle, |M_F=1, N+1\rangle, |M_F=0, N+2\rangle, |M_F=-1, N+3\rangle, |M_F=-2, N+4\rangle$ (N : nombre de photons RF) varient linéairement avec r , en l'absence de couplage atome-photon RF.

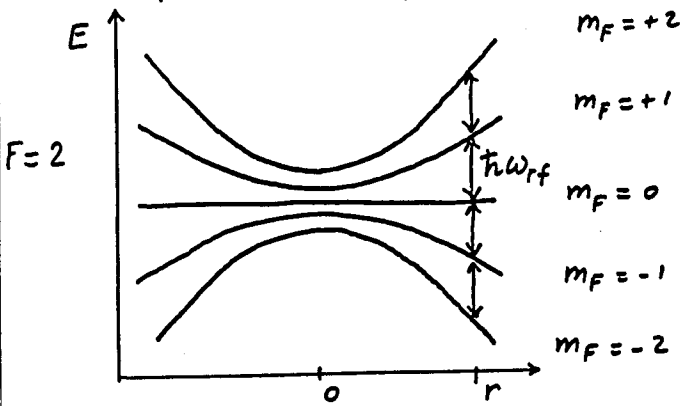
- Le couplage atome-photon RF transforme ces états non couplés en niveaux habillés qui s'anticrossent



Un atome initialement dans $M_F = 2$ et s'éloignant suffisamment lentement du centre du piège sort adiabatiquement du piège dans l'état $M_F = -2$

^{T2} Evaporation radiofréquence (ref 18)

Energie des sous-niveaux $|F, m_F\rangle$ dans un champ B_0 inhomogène (piège)

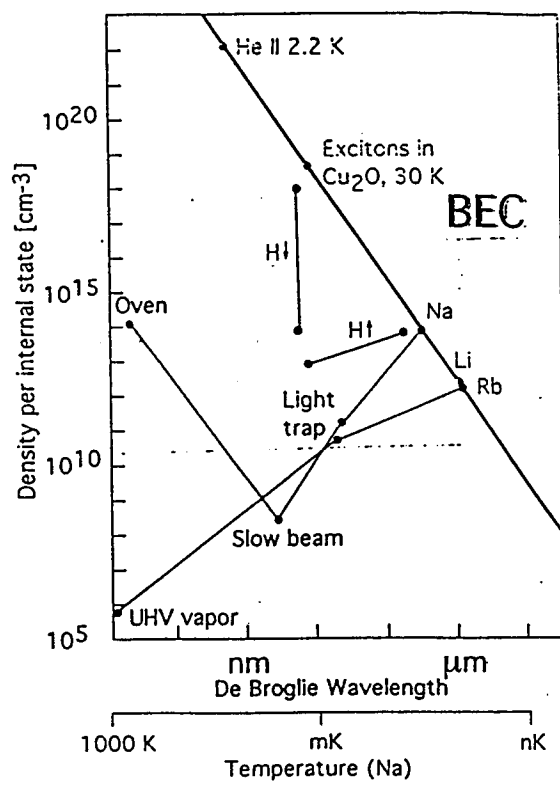


L'écart entre sous-niveaux $m_F, m_F \pm 1$ est résonnant avec un champ RF de fréquence ω_{rf} en tous les points r d'une surface

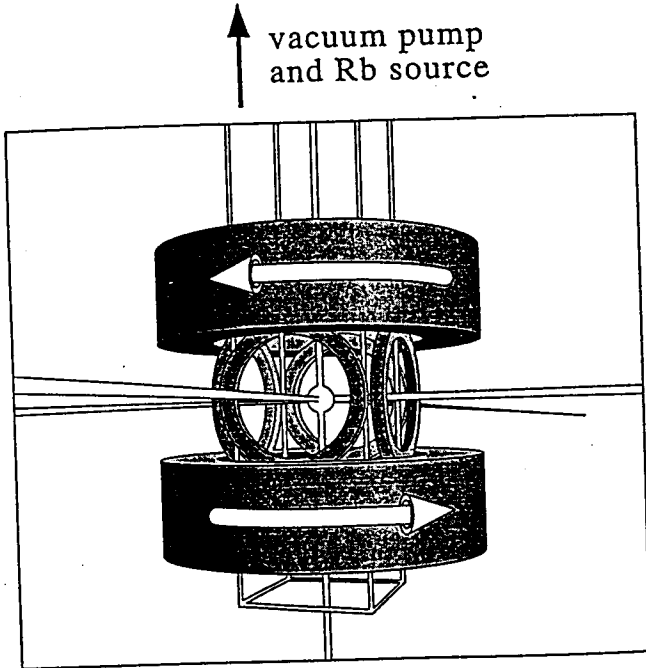
En ces points, transferts de l'atome des sous-niveaux piégeants $m_F = +1, +2$ vers les sous-niveaux non piégeants

Possibilité de choisir la valeur de ω_{rf} , de balayer ω_{rf} au cours de l'évaporation

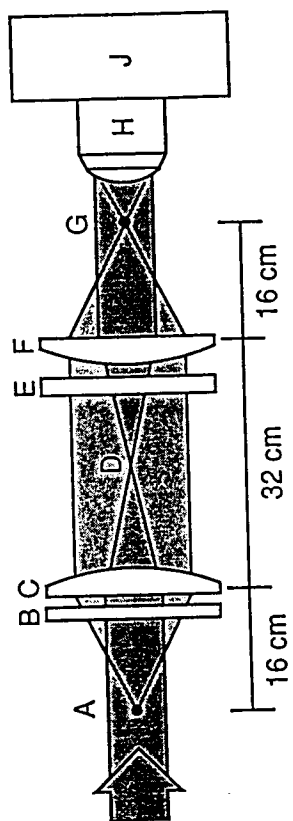
T4



T5

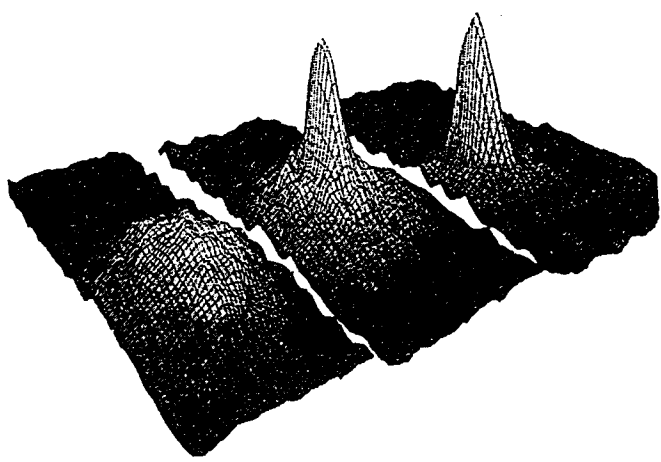


T6

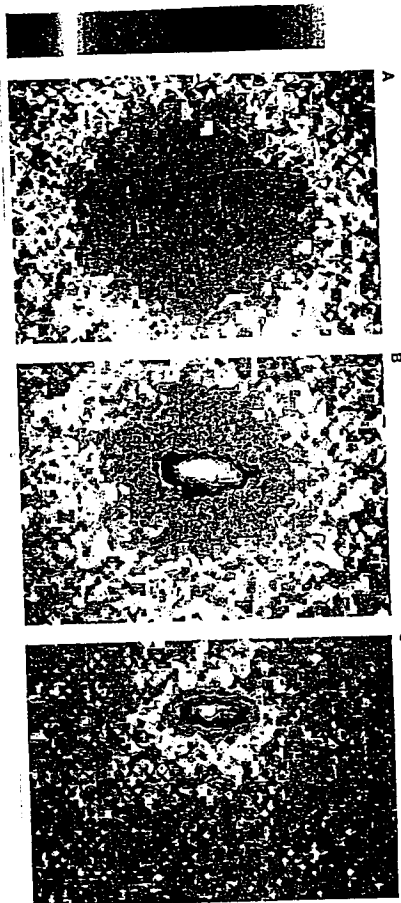


VI-3

T7

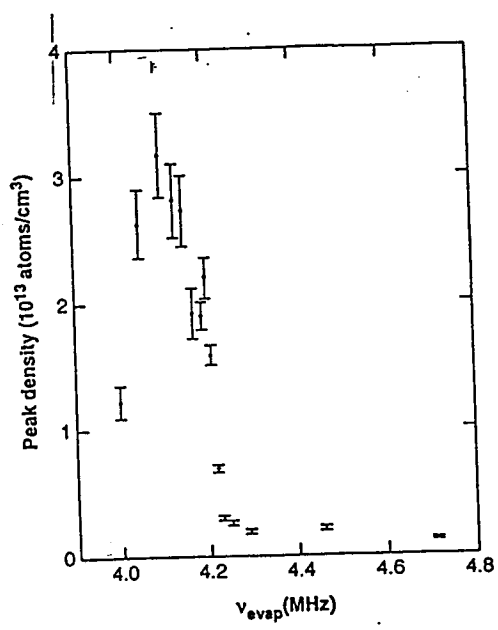


T8

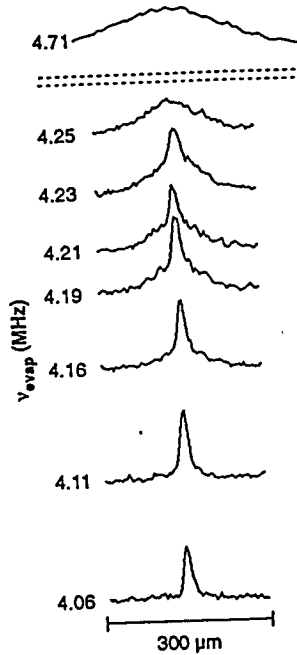


VI-4

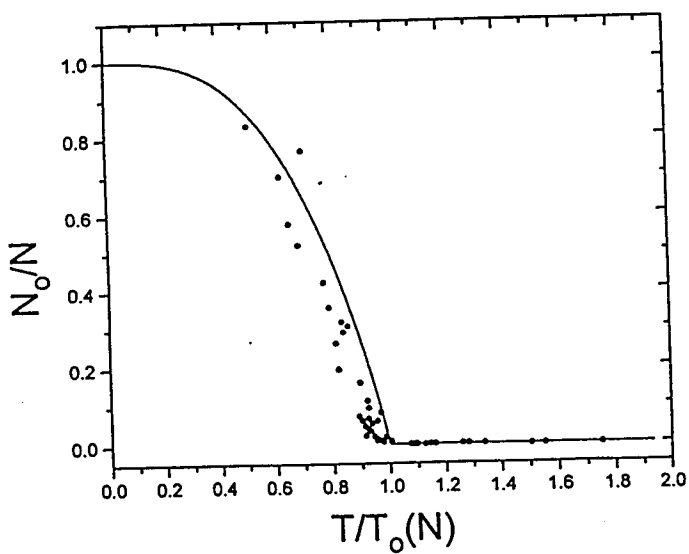
T9



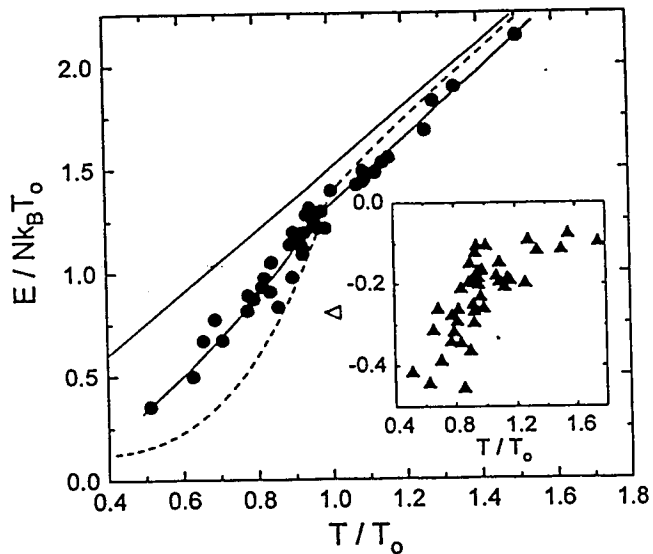
T10



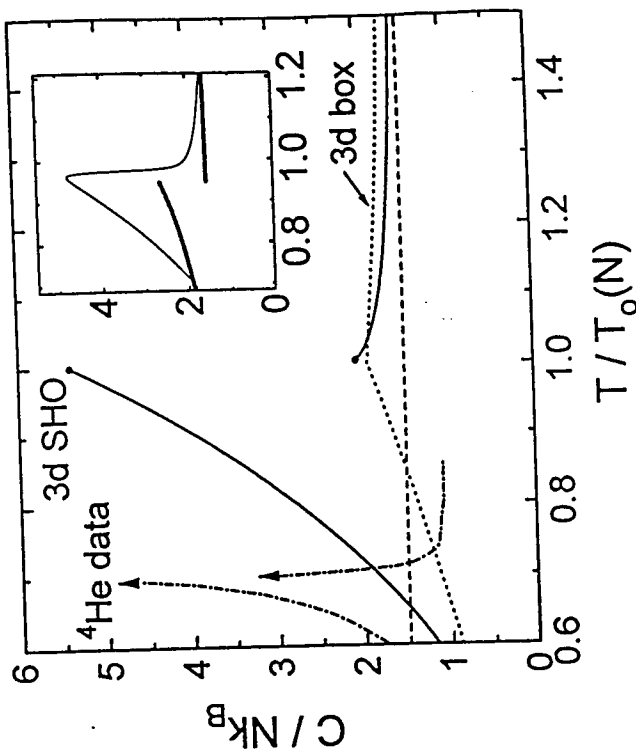
T11



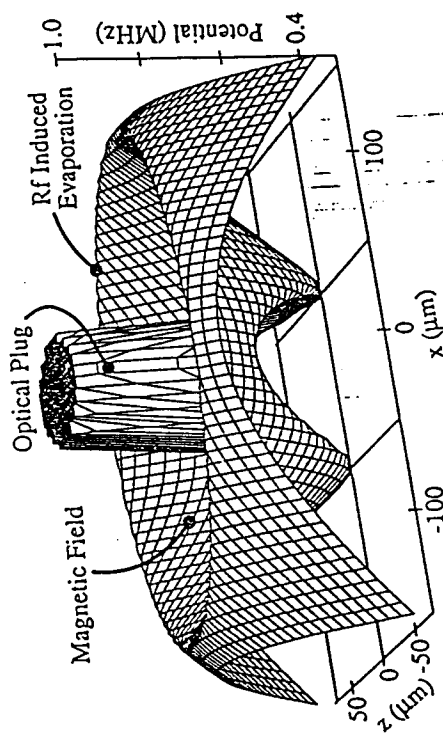
T12



T13



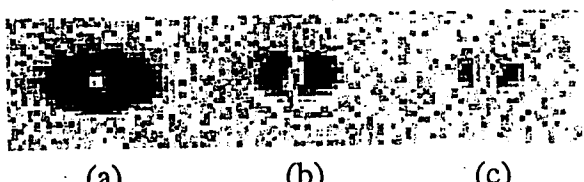
T14



VI-5

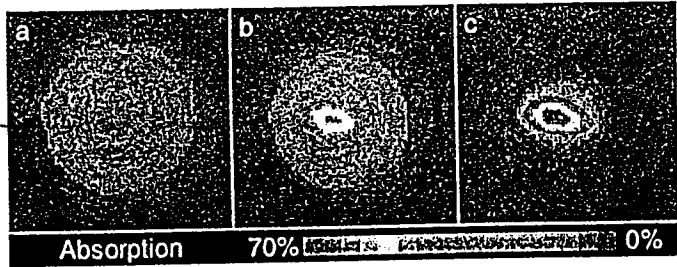
K. Davis, M. Mewes, M. Andrews, N. van Druten
 D. Duine, D. Kurn, W. Ketterle
Phys. Rev. Lett. 75, 3969 (1995)

T15



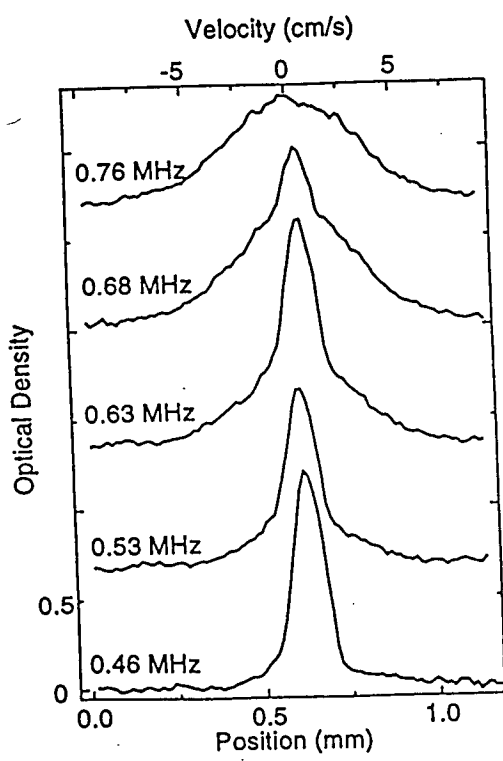
(a) (b) (c)

T16

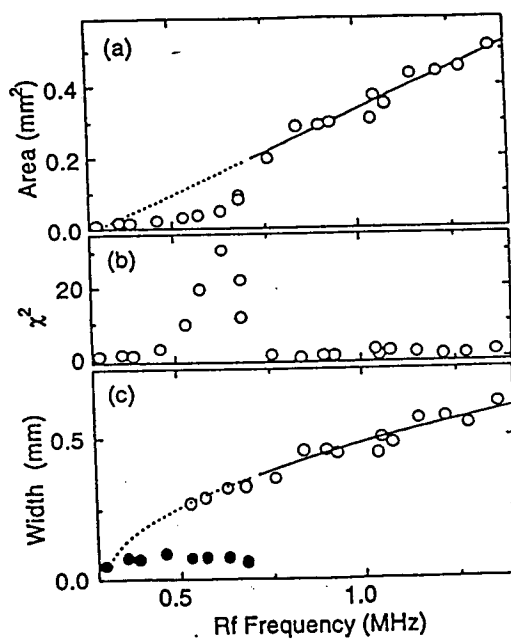


VI-6

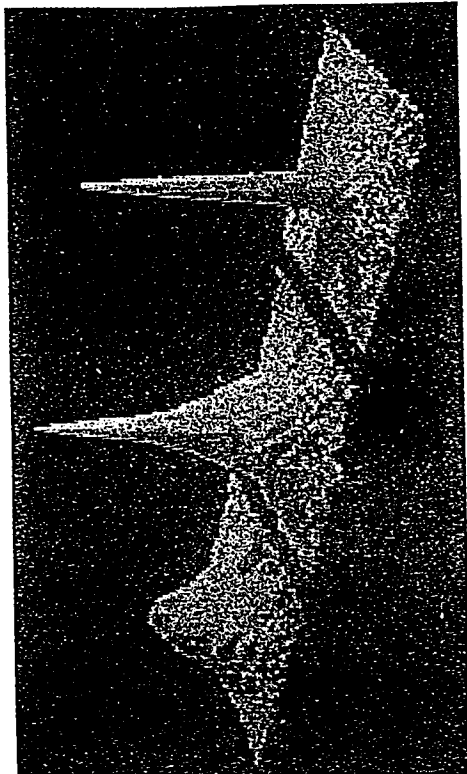
T 17



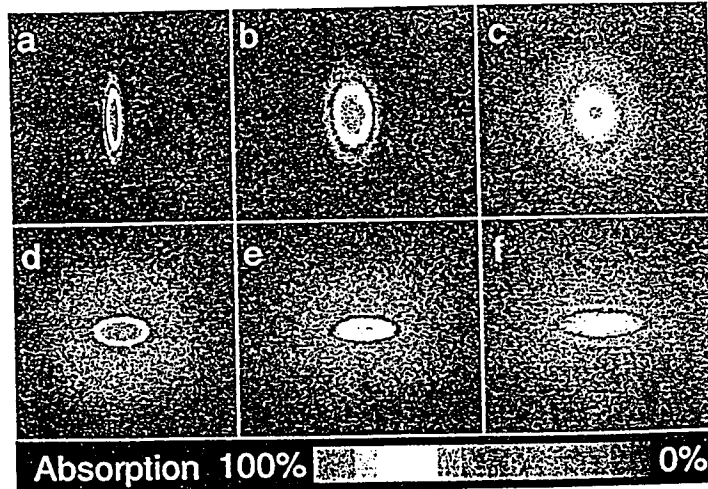
T 18



T 19

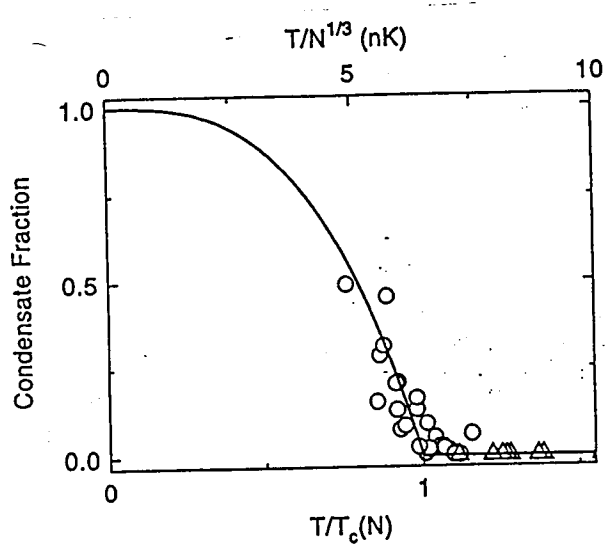


T 20

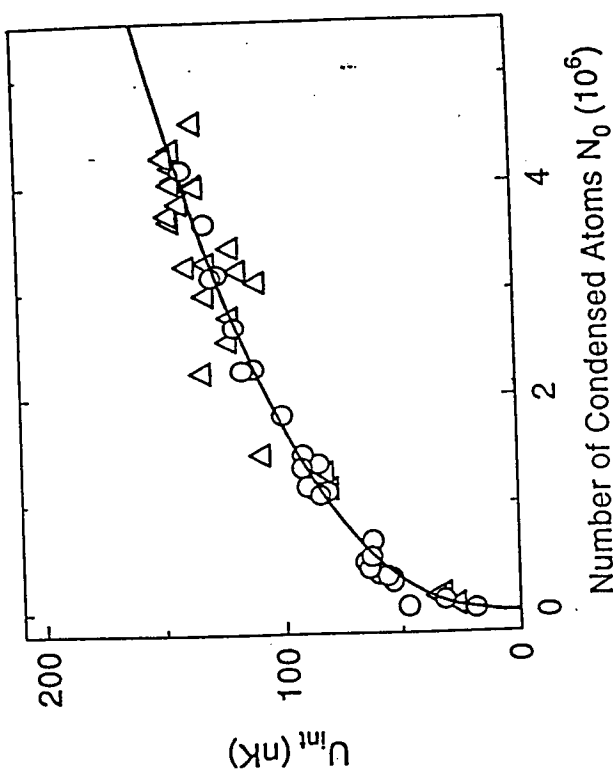


VI-7

T 21



T 22



T 23

